### (昭和 46 年 5 月日本造船学会春季講演会において講演)

### 拘束部材の脆性破壊発生特性について

正員 金 沢 武\* 正員 町 田 進\* 正員 宮 田 隆 司\*\*

A Study on the Brittle Fracture Initiation in the Constrained Structural Member

by Takeshi Kanazawa, Member Susumu Machida, Member

Takashi Miyata, Member

### Summary

Recent progress in fracture mechanics suggests the possibility of its practical application to the purpose of preventing the brittle fracture of steel structures constructed of ductile material such as ordinary structural steels.

One of the problems in determining permissible defect size, allowable stress level and service temperature on the basis of laboratory tests is the fact that fracture toughness values such as  $K_c$  or  $\Phi_C$  are not material constants in a strict sense but rather variables depending on the intensity of mechanical constraint of the defective region of the structure.

When the deformation at the crack tip in plate thickness direction is highly constrained, multiaxial state of stress is developed, which is supposed to cause the decrease of fracture toughness and the increase of transition temperature.

This paper describes the results of an investigation on the brittle fracture initiation characteristics of severely constrained structural member using model specimen with a defect coupled with stress concentration, mechanical constraint and welding residual stress.

These three factors are considered to increase the susceptibility to brittle fracture initiation. Comparative experiments have been carried out using wide plate notched tension test (without three factors) and that with longitudinal welds (with residual stress) to clarify the effect of the three factors mentioned above.

Further the effects of pre-loading and cyclic loading at room temperature were investigated using the constrained model specimens.

COD concept was applied as the fracture criterion for the analysis of the test results.

### 1 緒 言

破壊力学の進歩に伴つて高張力鋼、軟鋼など延性材料を用いた鋼構造物の脆性破壊を防止するため、破壊力学 を実用的に如何に適用するかが最近の重要な課題となつている。

木原・池田らりはディープノッチ試験によつて脆性破壊発生源となると思われる溶接ボンド部,溶接金属についてその発生特性を調べエネルギ論的立場から構造設計・材質判定に役立てようと試みている。また実際の状態を研究室的に再現する各種の構造模型試験<sup>2~4</sup>)も数多く行なわれている。

研究室的実験から破壊力学に基づいて構造物の許容欠陥長さ、許容応力、使用温度の相互関係を決定する際の一つの問題として実験的に求めた広義の破壊靱性値( $K_c$  あるいは  $\sigma_c$  など)が厳密な意味で材料定数ではなく欠陥存在部の変形拘束の度合によつてもそれが変り得るということが挙げられる。クラック先端で板厚方向の変

<sup>\*</sup> 東京大学工学部

<sup>\*\*</sup> 東京大学工学系大学院

248

形が強く拘束されている場合、クラック先端近傍は多軸応力状態となり靱性は低下して破壊の遷移温度が上昇することが予想される。

日本造船研究協会第 119 研究部会(SR 119 部会)「大型鉱石運搬船の船体構造材料に関する研究」りにおいても、この切欠部の変形拘束の影響を調べており、その一部を著者らが担当したが本研究はその結果に若干の解析と考察を加えたものである。考察にあたつては著者が担当した実験以外のデータをも引用させて頂いた。

本研究では溶接部切欠に不連続構造による極端な二次的応力集中と変形拘束を重畳させた研究室的には最も苛酷と思われる拘束引張試験片を用いてその脆性破壊発生特性を調べ、切欠部の拘束がどの程度影響を及ぼすか調べた。

また拘束引張試験片において脆性破壊発生を促進する主要な力学的因子を応力集中、溶接残留応力と変形拘束の三つと考えてそれらの効果を基本的な形でみるため、溶接ビード付加ディープノッチ試験とビードなしの素材のディープノッチ試験を同一材を用いて行ない比較検討した。

拘束引張試験においては常温での予荷重および疲労の影響をも調べた。

解析にあたつては工学的破壊条件として溶接残留応力や多様な負荷履歴の影響に対して妥当な説明が可能であり、クラック先端の塑性変形がクラック長さに比して大きい場合にも適用できる COD クライテリオンをとつた。

### 2 基礎的考察

### 2.1 Dugdale-Barenblatt モデルによる開口変位の計算

脆性破壊発生の工学的条件としてクラック先端の開口変位  $\phi$  が限界値  $\phi_c$  に達したとき破壊が発生するという COD クライテリオンをとる場合,その構造設計への応用を考えると, $K_c$  クライテリオンの場合と同様荷重に対する欠陥の変位挙動を知つておく必要がある。

煩雑な弾塑性解析を避けてクラック先端の変位を求める簡便な方法としては Dugdale-Barenblatt (Dugdale-Muskhelisivili とも呼ばれる) モデルあるいは B.C.S. モデルといつたクラックの弾性的 取扱いによる計算手法が挙げられる。 DB モデルを用いればクラックの開口変位は応力関数から全く弾性的に求めることができる。

図1に示すような有限板中のクラックに spiliting force P が中心軸に関して対称に作用するとき、開口変位  $\Phi(\eta)$  は Westergaard の応力関数から次のように与えられる $^{6}$ )。

$$\Phi(\eta) = \frac{4P}{\pi E} \cosh^{-1} \left| \frac{\cos^2\left(\frac{\pi a}{2b}\right) \left\{\cos^2\left(\frac{\pi \eta}{2b}\right) + \cos^2\left(\frac{\pi x}{2b}\right)\right\} - 2\cos^2\left(\frac{\pi x}{2b}\right)\cos^2\left(\frac{\pi \eta}{2b}\right)}{\cos^2\left(\frac{\pi a}{2b}\right) \left\{\sin^2\left(\frac{\pi \eta}{2b}\right) - \sin^2\left(\frac{\pi x}{2b}\right)\right\}} \right| = \frac{4P}{\pi E} F(\eta, a, x)$$
(1)

ただし

 $(\eta \leq a, \eta \neq x)$ 

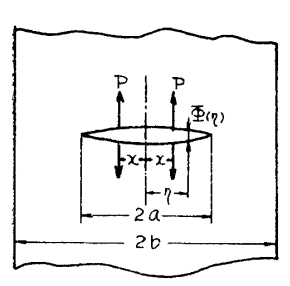


図 1 有限板中のクラック に Spiliting force が作用する場合

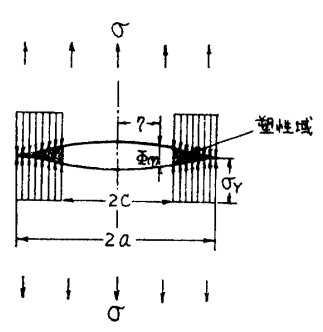


図 2 Dugdale-Barenblatt モデル

一様な 引張応力  $\sigma$  が作用するとき(図 2)は DB モデルによれば、その塑性域の大きさは塑性 域を含めた仮想弾性クラックについて一様応力  $\sigma$  によるK値と内圧として塑性域部に分布する降伏 応力  $\sigma_{Y}$  によるK値を等値することによつて決定され、開口量は $\sigma$  と  $\sigma_{Y}$  によるものの代数和として求められる。すなわち

$$m{\Phi}(\eta) = rac{4}{\pi E} \left\{ \sigma \int_0^a F(\eta, a, x) dx 
ight. \ \left. - \sigma_Y \int_c^a F(\eta, a, x) dx 
ight\}$$
 (2)

ここでEはヤング率であり、aは塑性域を含めたクラック長さで

$$\frac{\sin\left(\frac{\pi c}{2b}\right)}{\sin\left(\frac{\pi a}{2b}\right)} = \cos\left(\frac{\pi \sigma}{2\sigma_{Y}}\right) \tag{3}$$

で与えられる。

さて DB モデル、BCS モデルともに本来塑性域の長さを近似的に与えるものであつて、正しい開口変位を与えるという保証はない。 この問題に対しては酒井・飯野らが種々の応力場につき BCS モデルによつてクラックの開口変位を求め実験的に検証しているが、本研究においても弾性クラックモデルによる変位計算の妥当性を証明する実験結果が得られている。

実験は後述の造船用軟鋼について幅  $500 \, \mathrm{mm}$ ,切欠長さ  $125 \, \mathrm{mm}$  のディープノッチ試験を行ない,クリップゲージによつて  $\Phi_C$  を実測したものである。 クリップゲージの挿入位置は切欠 先端より  $10 \, \mathrm{mm}$  の位置であり,破壊応力からの  $\Phi_C$  の計算も その位置について行なつた。結果を図  $3 \, \mathrm{に示すが}$ ,両者の良い 一致がみられる。

#### 0.25 () 0.15 () 0.15 () 0.05 () 0.05 () 0.15 () 0.05 () 0.15 () 0.05 () 0.15 () 0.05 () 0.15 () 0.05 () 0.15 () 0.05 () 0.15 () 0.05 () 0.15 () 0.05 () 0.15 () 0.05 () 0.15 () 0.05 () 0.15 () 0.05 () 0.15 () 0.05 () 0.

図 3 破壊応力より計算した  $\pmb{\phi}_C$  と実測した  $\pmb{\phi}_C$  との比較

# 2.2 溶接残留応力がある場合の 開口変位の 計算と COD クライテリオンの適用

図4(a)に示すような溶接残留応力場中にクラックがある場合、クラックの存在によって応力は再配分され、クラック線上の応力は模式的に(b)のようになる。この応力分布はやはり DB モデルを用いて計算することができる。このようにクラック線上に初期応力が残留している場合の一様引張応力  $\sigma$  による開口変位 $\sigma$ は(2)式と同様(1)式を基に残留応力を  $\sigma$ R(x) として、次のように求められる。

$$\varPhi(\eta) = \frac{4}{\pi E} \left\{ \sigma \int_0^a F(\eta, a, x) dx + \int_c^a (\sigma_R(x) - \sigma_{YT}) F(\eta, a, x) dx \right\}$$

$$\tau = \tau \in \mathcal{L}$$

$$\sigma + \sigma_R(x) \leq \sigma_{YT}$$

$$(4)$$

ここで  $\sigma_{YT}$  は負荷温度での材料の降伏応力である。 $\sigma + \sigma_R(x) > \sigma_{YT}$  の場合は応力再配分の必要がある。a は次式によつて求められる。

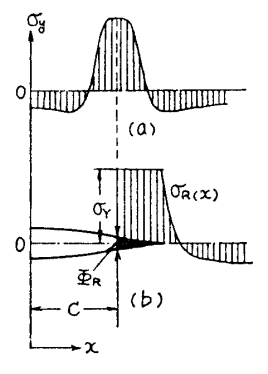


図 4 溶接残留応力場 中のクラック

$$\sigma_{YT} \sin^{-1} \left\{ \frac{\sin\left(\frac{\pi c}{2b}\right)}{\sin\left(\frac{\pi a}{2b}\right)} \right\} + \int_{c}^{a} \sigma_{R}(x) \frac{\cos\left(\frac{\pi x}{2b}\right)}{\sqrt{\sin^{2}\left(\frac{\pi a}{2b}\right) - \sin^{2}\left(\frac{\pi x}{2b}\right)}} dx = \frac{\pi}{2} (\sigma_{YT} - \sigma)$$
 (5)

 $\sigma_R(x) = \sigma_0$  (一定) のときは(5)式は

$$\frac{\sin\left(\frac{\pi c}{2b}\right)}{\sin\left(\frac{\pi a}{2b}\right)} = \cos\left\{\frac{\pi \sigma}{2(\sigma_{YT} - \sigma_0)}\right\} \tag{6}$$

図4(b)中に示したように溶接残留応力のみによつてもすでにクラック先端は塑性変形して開口変位  $\Phi_R$  が生じているが、COD クライテリオンを適用するにあたり「破壊時の温度での負荷によつて生じた  $\Phi$  のみが破壊に寄与する」と仮定すると、この  $\Phi_R$  はクライテリオン量としては一般に切捨てられることになる。すなわち  $\Phi_R$   $\geq \Phi_C$  であるような低温で切欠加工を施す場合以外は、溶接残留応力のみによつては決して破壊が起こらないということであり、この点が  $K_C$  クライテリオンと根本的に異なる点であろう。COD クライテリオンに関して上記のような仮定を設けると越賀 $^{80}$ の提案している  $\Phi_C$  クライテリオンと定性的には全く等価となる $^{90}$ 。

実験結果との比較については後述する。

### 3 実験 方法

### 3.1 供 試 材

供試鋼板としては日本海事協会規格の造船用軟鋼 A 級鋼 19~mm 厚を用いた。供試材の化学成分および機械的性質を表 1 に示す。表 1 には 2~mm V 1~y チシャルビ試験の結果も併せて示す。また材料の降伏点の温度依存性を丸棒引張試験によつて調べた。

表 1 供試鋼の化学成分,機械的性質および V シャルピ 試験結果

鋼 種	板	厚 nm)	,	化 学	成	分	(%)		
如 但	(n	nm)	С	Si	Mn	P	S		
A級鋼		19	0.18	0.04	0.7	6 0.0	12 0.021		
	機	械	的性	質	The same of the sa	Vシャルピ試験			
降伏点		引	長強さ	伸び G. L. = 200 mm		vTrs	0℃ での吸  収エネルギ		
28.0 kg	/mm²	43. 0	kg/mm²	30.09	%	+8°C	7.0 kg·m		

### 3.2 試験片および実験方法

### 3.2.1 拘束引張試験

拘束引張試験の試験片形状寸法は図5に示すとおりである。溶接施工の関係上スチフナに相当する間隔零の不連続板に両側からクラック伝播部となる主板を溶接した形をとつている。不連続スチフナが切欠としての効果を持つており、そのままでも低応力破壊が期待できるが、不連続部の溶接ビードの破断が破壊発生の要因となることを防ぐ目的で、スチフナの不連続部に合わせ

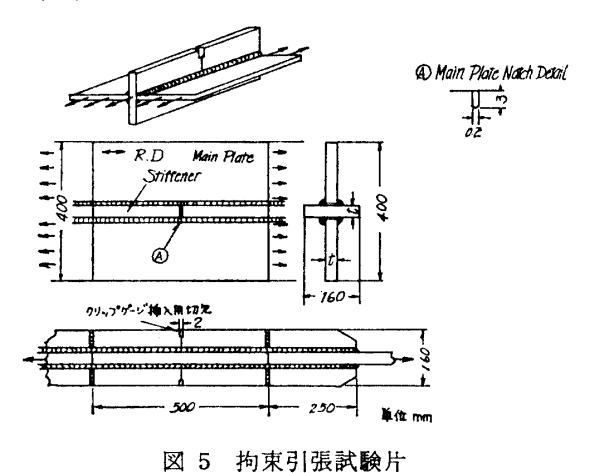
て溶接前に両側の主板に機械加工により幅 0.2 mm×長さ 3 mm の切欠を施した。不連続部分では変形が強く拘束され極端な応力集中がある上に切欠先端は溶接ビード真下となつて溶接残留応力が最大となるような位置にある。脆性破壊に対しては非常に苛酷な条件にあるといえよう。

スチフナに流れる応力の割合を高め、不連続部での応力集中を大きくするため、スチフナの長さを1mとかなり長くした。ひずみゲージを用いて測定した引張方向のひずみの分布の様子を図6に例示する。

溶接はすべて水平隅肉溶接で脚長は9.5 mm となるようにした。隅肉溶接であるためか不連続部の溶接第一層には全試験片とも溶接ワレが生じた。溶接条件を表2に示す。

拘束引張試験ではまず試験温度をいろいろ選んで単純な引張りによる破壊応力の温度依存性を求め、さらに室温予荷重低温引張りおよび室温疲労低温引張試験を実施した。予荷重の応力はネット応力で約 21 kg/mm², 11 kg/mm² の 2 レベル、繰返し応力は 11 kg/mm² で繰返し数は 6×10³ である。予荷重、疲労の影響を調べることは本研究の主目的ではないので参考程度のデータを得るにとどめた。

破壊時の COD の測定は切欠先端付近での測定が不



CH (WC)

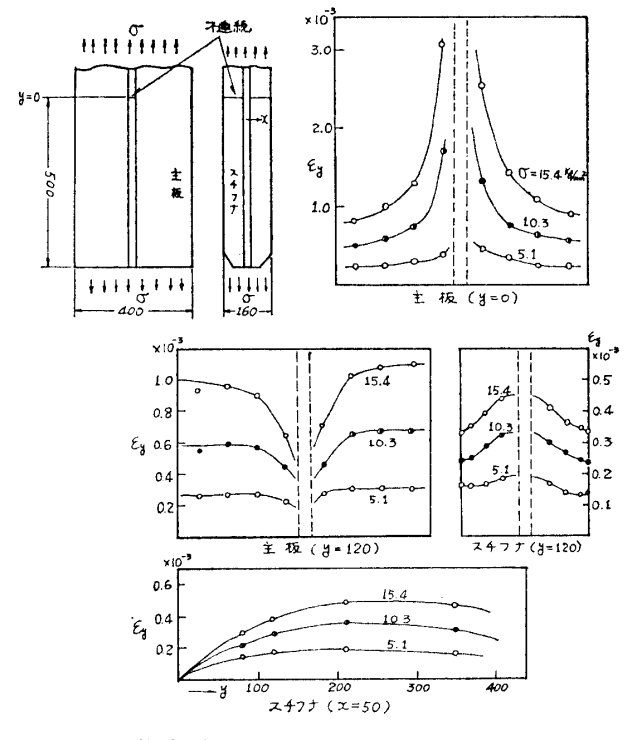


図 6 拘束引張試験片に荷重を加えたときの ひずみの分布

表2 試験片の溶接条件

試 験 片	脚 長 (mm)	層 No.	溶接棒径 (mm)	電 (Amp.)	電 圧 (Volt)	溶接速度 (mm/min)	溶接棒
拘束引張試験	9.5	1 2	6 5. 5	290 240	33 33	200 255	イルミナイト系 鉄粉酸化鉄系
ピード付ディー プノッチ試験		1 (表) 2 (裏)	6. 4	830 910	32 33	280 300	US36-MF38-20 D

可能なため、図5に示すようにスチフナ不連部両端にクリップゲージを挿入してその開口変位を測定した。

## 3.2.2 ディープノッチ試験および溶接ビード付ディープノッチ試験

拘束引張試験におけるスチフナの不連続は一種の切欠としての効果を持つものであり、変形拘束を除けば切欠 先端に溶接ビードを付加した試験片で基本的には代弁し 得るものである。溶接残留応力と切欠の重畳が脆性破壊 の発生におよぼす影響を基本的な形で調べるため溶接ビード付ディープノッチ試験を行ないビードを付加しない 素材のディープノッチ試験と比較した。

溶接ビード付ディープノッチ試験の試験片形状寸法は

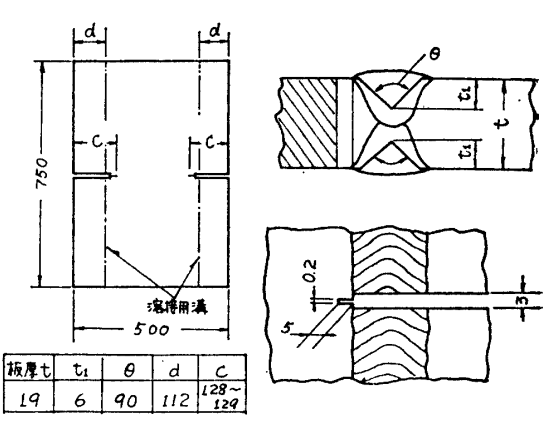


図 7 溶接ビード付ディープノッチ試験片

図7に示すとおりである。溶接条件を表 2に示す。切欠長さはビード幅が不揃いであつたため、各試験片の表裏左右 4 ビードのうち幅が最大のものの内側止端より 5 mm 内側までを切欠寸法としたので各試験片毎に多少異なつており  $128\sim129$  mm となつている。切欠先端をボンドより 5 mm の位置にとつたのは溶接による材質の変化といった問題を避け、溶接残留応力という力学的因子のみを考慮すればよい状態にするためである。切欠加工は試験片を均一化するため溶接後に施した。

素材のディープノッチ 試験片では 切欠長さはすべて  $125 \, \mathrm{mm}$  で切欠先端部は ビード付と 同じく  $0.2 \, \mathrm{mm} \times 5 \, \mathrm{mm}$  とした。開口変位はビード付,素材ともに幅  $3 \, \mathrm{mm}$  の切欠の切欠先端に最も近い位置にクリップゲージを挿入して測定した。

### 4 実験結果と考察

### 4.1 拘束引張試験

実験結果を一括して表3に示す。以下の考察にあたつて SR 119 部会の海事協会規格 D, E 級鋼についての実験結果をも参考にした。実験結果の詳細は部会報告書がを参照されたい。

### 4.1.1 単純引張試験

拘束引張試験の破壊応力と温度の関係を図8に示す。板厚 38 mm の D,E 級鋼の結果も図8(b),(c)に示しておく。各鋼種とも通常の平板の試験ではみられないような広い温度範囲にわたつて低応力脆性破壊を起こして

TO TO THE STATE OF												
			予ィ	<b>声</b>	加ユ	-		破り	廋 声	<b>*</b>	è	
試験片 No.	<b>試験</b> 内容	温度 (℃)		度 gross (kg/ mm²)	力 net (kg/ mm²)	$\delta_1$ (mm)	温度 (°C)	荷 重 (ton)	成 gross (kg/ mm²)	力 net (kg/ mm²)	$\delta_c \ ( ext{mm})$	備考
1	引張 試験		77000					64 (230.5)	$6.2 \\ (22.4)$	8.8 (31.8)	0.324 —	脆性クラック発生→停止 最終破断(延性)
2	"						$\begin{pmatrix} -35 \\ (-25) \end{pmatrix}$	78.6	$7.7 \\ (16.5)$		(>3.0)	脆性クラック発生→停止 最終破断(脆性)
3	"						-40	73	7.1	10.1	0.133	
4	"						-65	89	8.7	12.3	0.156	
5	"	!					90	48.5	4.7	6.7	0.081	
6	"						-196	26	2.5	3.6	0.080	
7	予荷重	15	150	14.6	20.7	0.07	-62	170	17.1	24.3	0.430	
8	"	20	150	14.6	20.7	0.207	-120	175	17.3	24.6	0.432	
9	"	18	150	14.6	20.7	0.101	-196	81	7.9	11.2	0.137	
10	"	18	80	8.0	11.3	0.029	-62	90	8.8	12.6	0.116	
11	疲労	15	82	8. 0↔ 0. 9			-58	104	10. 1	14.4	0.287	繰返し回数 6×10 <sup>3</sup> 疲労クラック:約 1.0 mm

表 3 拘 束 引 張 試 験 結 果 (A級鋼)

 $\delta_1$ :除荷状態での残留 COD,  $\delta_c$ :破壊発生時の COD (予荷重をかけた場合は再負荷による COD)

いる。特にA級鋼では0°C付近まで降伏点の1/3以下のネット応力で破壊が発生するという著しい遷移温度の上昇がみられる。またD級鋼もここで供試したA級鋼と材質的にはほぼ同程度のものであり、かなり高温においても低応力で脆性破壊が発生している。

破壊応力-温度の遷移曲線が狭い温度範囲で急激に立ち上がつているが、この傾向は木原ら10)の行なつた切欠

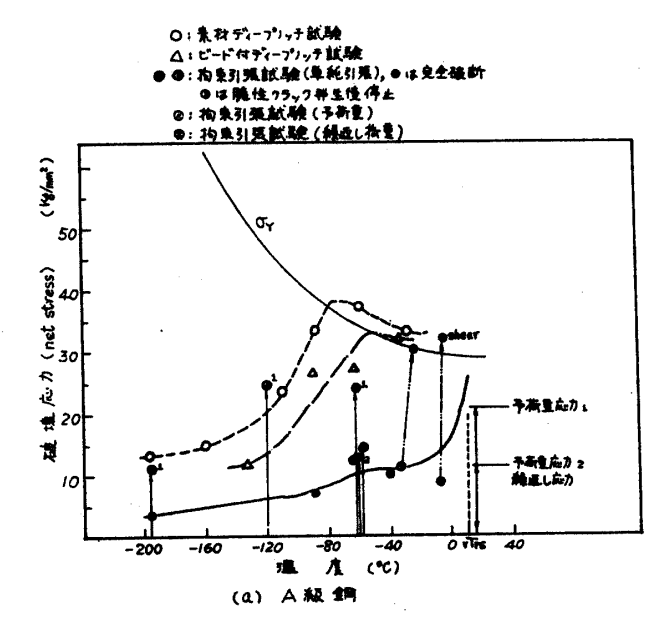


図 8 (a) 破壊応力と温度の関係

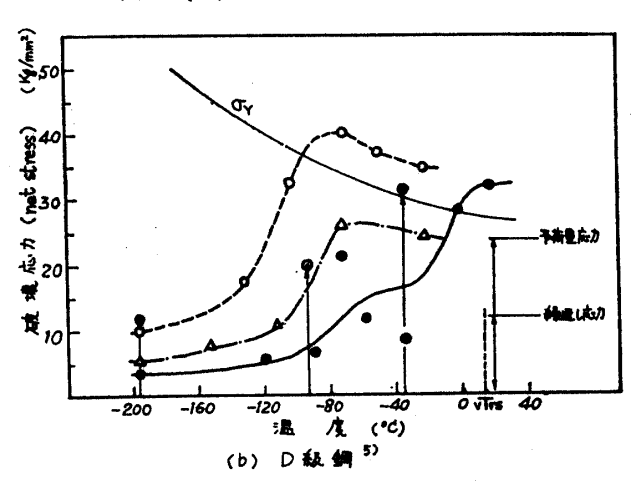


図 8 (b) 破壊応力と温度の関係

付広幅溶接継手試験の結果と良く似ている。三鋼種ともこの破壊応力が急激に上昇し低応力破壊を起こさなくなる温度がシャルビ試験の破面遷移温度付近であることは注目に価しよう。 苛酷な条件下では静的荷重によつても破面遷移温度近くまで低応力破壊が起こり得ることを示すものである。

ただし図中①で示したように各鋼種とも高温になると発生した脆性クラックが一度停止し、さらに荷重を加えることによつて最終破断に至るという現象がみられた。これはクラックの進展に伴つて変形拘束が弱まると同時に引張りの残留応力域から圧縮の応力域にはいるため、母材の脆性クラック停止特性によつては発生したクラックが停止しうるということであろう。

図9に破面の例を示すが、破面の観察からA級鋼ではすべて破壊は板厚中心から発生しているものと

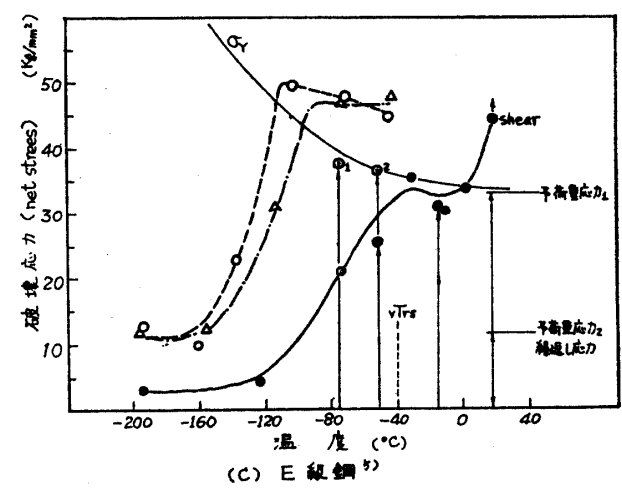
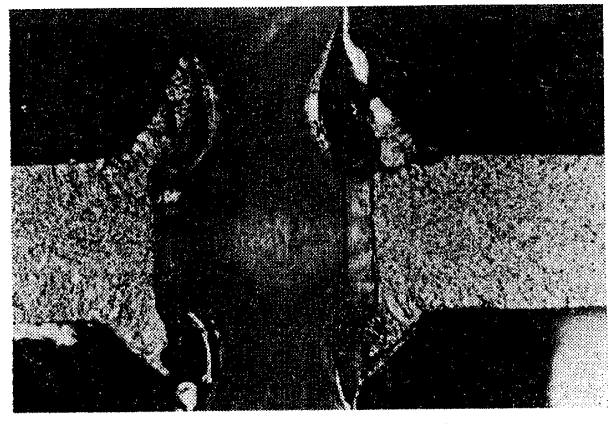
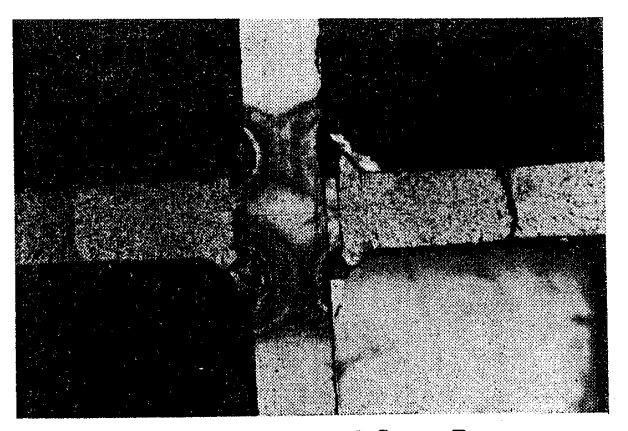


図8(c) 破壊応力と温度の関係



(a) 試験温度 -90℃ 1 Stage Fracture



1 Stage Fracture (b) 試験温度 -35℃ 2 Stage Fracture 図 9 拘束引張試験片の破面(A級鋼試験片)

考えられる。板厚の厚い D, E 級鋼では溶接ビードからクラックが発生し母材に伝播していつた形跡もあるということで、溶接ビードの発生特性が試験結果に含まれている可能性があり試験結果のばらつきの原因ともなつているのではないかと思われる。

スチフナの不連続部の 端部で 測定した 破壊発生時の 開口変位  $\delta_c$  を図 10 に示す。ここで  $\delta_c$  は両端での測定値の平均値である。

### 4.1.2 室温予荷重および繰返し荷重の効果

一般に切欠付試片に予荷重を加えた後,低温において破壊させると破壊応力は予荷重なしの場合に比較してかなり増加することが知られている<sup>8,10)</sup>。 拘束引張試験片における予荷重の効果は図8中に示すように顕著であり,この種の脆性破壊に対して苛酷な試験片においては破壊応力が飛躍的に増加することがわかる。この破壊応力の増加は4.3で触れるが,溶接残留応力の除去と切欠先端に圧縮残留応力場が形成されるということのみでは説明できないほど大きい。また越賀が理論的に指摘しているようにある温度以下では予荷重応力以下の応力で破壊している。

予荷重と同様に室温において繰返し荷重を加え、疲労させた後

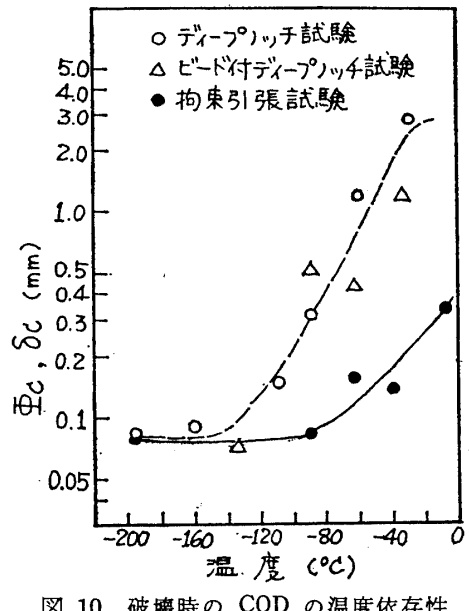


図 10 破壊時の COD の温度依存性 (A級鋼)

に低温で破壊させた結果を同図中に示す。実験数が少なく断定することはできないが、繰返し荷重に等しい予荷 重を加えた場合と比較してあまり差はなく、疲労による材質の劣化よりも予荷重としての効果の方が大きいよう である。

### 4.2 溶接ビード付ディープノッチ試験および素材ディープノッチ試験

破壊応力と温度の関係を拘束引張試験の結果と比較して図 8 に示す。 A 級鋼の他 D, E 級鋼のデータも拘束引張と同様引用して同図(b),(c)に示しておく。

限界 COD,  $\phi_c$  の測定結果を図 10 に示す。「2」で述べた CODクライテリオン適用の際の仮定に従うならば、溶接残留応力のあるなしに拘わらず  $\phi_c$  はある温度では一定でなければならないが、両者の  $\phi_c$  はほぼ一致しておりそれを裏付けるデータといえる。 E級鋼についても同様なことがいえるが、 D級鋼に関する実験ではこの仮定に反するような結果が得られている $^{50}$ 。

溶接残留応力がある場合の破壊応力は前に述べたように素材の実験から得られた  $\Phi_C$  (切欠先端値) をもとに、 (4)式から  $\Phi(C) = \Phi_C$  となるような  $\sigma$  として求められる。  $\sigma + \sigma_R(x) > \sigma_{YT}$  の場合は、その部分を  $\sigma_{YT}$  としてそ

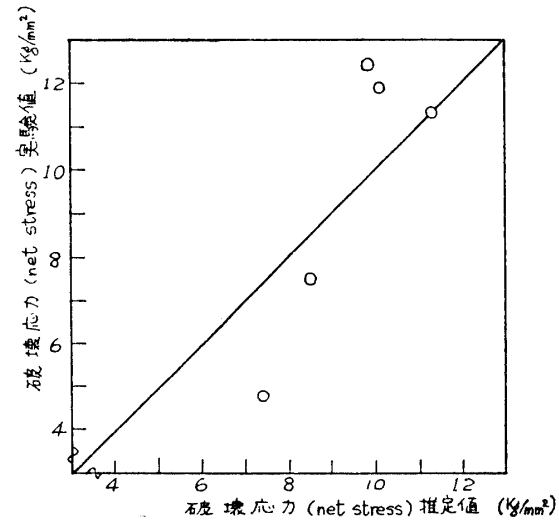


図 11 溶接ビード付ディープノッチ試験の素材 ディープノッチ試験より推定した破壊応 力の実験値との比較

の差を全体に配分し、常に応力の釣合がとれているようにして計算すればよい。素材の試験結果から推定した破壊応力を実験値と比較して図 11 に示す。従来のクライテリオンに比べ比較的良く一致しており、溶接残留応力の影響を切欠先端に初期応力が存在しているという形でのみとらえる考え方が妥当であることを示すものと考える。

### 4.3 総合的考察

拘束引張試験片における切欠効果と残留応力の効果は溶接条件その他が異なるため直接比較することはできないが基本的にはビード付ディープノッチ試験片によつて代表され得るものであり、定性的に図8から切欠先端の変形拘束が破壊応力の低下に大きく寄与しているといつてよいであろう。実測した開口変位も測定位置が切欠先端ではないためこれも直接比較することはできないが、拘束引張試験の切欠先端の開口変位、 $\phi_c$  値は他の試験によるものよりさらに小さくなるはずであり、変形拘束が $\phi_c$  値に影響を与えていることが明らかである。破壊応力、 $\phi_c$  ともに極低

温において大きな差がないのは、切欠先端の塑性変形が小さくディープノッチ試験においても拘束度という点に 関しては拘束引張試験と相対的に大差ない状態にあるためと考えられる。高温になるに従つてディープノッチ試 験は平面応力型の破壊に移行するのに対して、拘束試験片ではスチフナによる変形拘束のため、高温域でも平面 ひずみ型の破壊が起こり、破壊応力、 $\Phi_c$  の顕著な差となつて現われてくるものと考えられる。

変形拘束の影響をさらに明らかにするため、拘束引張試験を矢田・酒井ら<sup>3)</sup> が行なつた I 型縦溶接継手試験片の平面モデルへの置き換えの手法を用いて平面的に解析してみた。

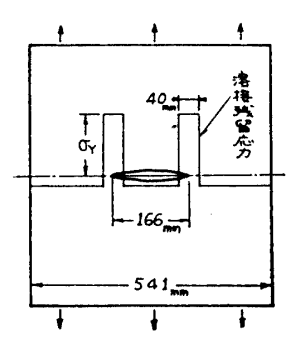


図 12 拘束引張試験片 の 平面 モデル (A級鋼試験片 の場合)

図6から判断して不連続部がない場合には、近似的にスチフナには主板と同等の応力が生じているものとする。スチフナの不連続が切欠としての効果を持つとすると、スチフナと主板の板厚が同じ場合にはスチフナの高さが切欠長さに相当することになる。このような前提のもとに拘束引張試験片はその切欠効果と残留応力の効果に関して、切欠の先端に縦溶接ビードがある中央切欠付試験片として平面的にモデル化される。(図 12)

切欠のない場合の溶接残留応力分布はE級鋼試験片で測定した結果を参考に図中に示すような矩形分布で近似した。限界 COD,  $\phi_c$  が拘束度に影響されないとするとこの平面モデルを用いて素材のディープノッチ試験から得られた  $\phi_c$  から拘束引張試験の破壊応力を推定することができる。図 13 中の破線がその推定結果で計算方法や考え方については前に述べた。計算にあたり降伏応力  $\sigma_{YT}$  は単軸の場合と同一であると仮定した。同図中実線で示したのは溶接残留応力がない場合の破壊応

力で、これと比較することによつて溶接残留応力、拘束度の影響を破壊応力の上で検討することが可能となる。切欠長さ、試片幅など他の因子が同一であると考えられるからである。

図から拘束引張試験の実験結果がスチフナの不連続に対応させた切欠と溶接残留応力の重畳ということでは説明され得ないことがわかる。もちろん実際の拘束引張試験片における荷重と開口変位の関係と平面モデルにおけるそれとは,後者が切欠先端付近の応力の多軸性を無視しているという点からも異なるであろうことは容易に想像される。しかし多軸応力状態における引張方向のみかけの降伏点の上昇を考慮することは,数値的にはそれ程大きくないが破壊応力の推定値がさらに増加することを意味し,実験結果を説明し得る方向ではない。

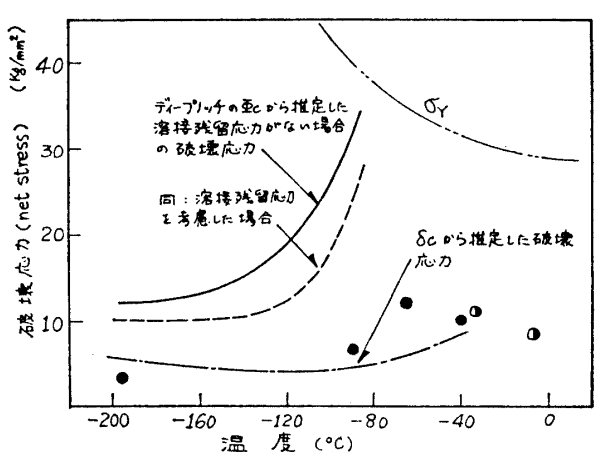


図 13 平面モデルによる拘束引張試験の破壊応力の試験

また拘束引張試験の切欠先端が溶接ビード真下であり、素材に比べ材質が劣化していることも考えられるが、 破壊発生点が板厚中心であり比較的材質劣化は少ないと思われる。

残留応力、切欠効果を再現するという意味での平面モデルの妥当性は次のようにしてある程度検証することができる。すなわちスチフナの不連続部両端で測定した開口変位の平均値  $\delta_c$  がスチフナと主板が交わる位置での開口変位であるとすると、平面モデルにおいてそれに対応する位置での開口変位が  $\delta_c$  となるような応力が求められる。その応力を破壊応力として示したのが図 13 中の一点鎖線であり、実験値と比較的一致する。

いずれにせよ拘束による  $\phi_c$  の減少を考えない限り、拘束引張試験の低応力破壊は説明できないようであり、 $\epsilon$ COD の実測結果がこれらの解析をするまでもなくそれを証明している。

COD クライテリオンにせよ  $K_c$  クライテリオンにせよ本質的には三次元的効果を考慮していない工学的破壊条件をとる以上いわば当然の結果であり、平板の試験のみによつて形式的に立体構造物の破壊を論ずることは危険であるといえる。

 え方および $\phi$ の計算方法は溶接残留応力の場合と基本的には同じである $^{9}$ 。 図中破線で示したのが,素材ディープノッチの $\phi_c$ によつて破壊応力を決定した場合、一点鎖線が $\delta_c$ によつて決定した場合である。予荷重をうけた場合はむしろ素材の $\phi_c$ によつたものの方が実験結果と良く一致しており,溶接残留応力の緩和の効果は計算に反影されているので切欠先端の塑性変形による拘束の緩和のためと考えざるを得ない。

以上拘束引張試験に対し平面モデルを用いた解析を 試みたが、立体構造を平面的に取扱う際には前述した ように多くの大胆な仮定が伴うので、変形拘束の影響 を定量的に解析するにはやはり有限要素法などによる

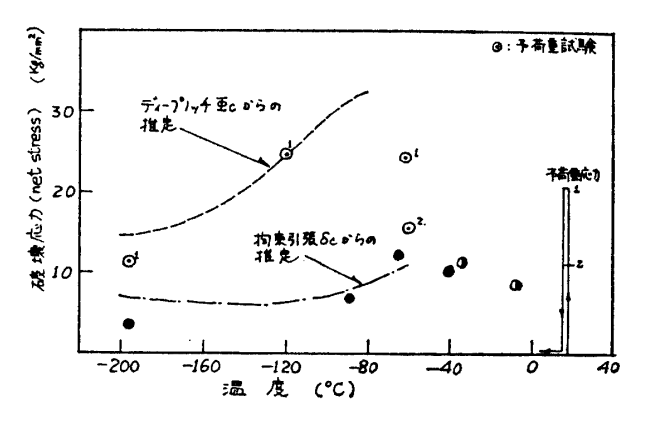


図 14 COD クライテリオンに基く予荷重効果 の推定

立体構造解析が必要であろう。COD クライテリオンの適用にあたつては"変形拘束がある場合の構造物の荷重と開口変位の関係","拘束による  $\Phi_c$  の変化"の両者を考慮しなければならないと考える。

### 5 結 言

溶接部切欠に不連続スチフナによる応力集中と変形拘束を重畳させた脆性破壊に対しては苛酷な拘束引張試験 を用いてその脆性破壊発生特性を調べ、次の結論を得た。

- 1) 溶接残留応力, 応力集中, 変形拘束の重畳により市販軟鋼においても V ノッチシャルピの破面遷移温度近くまで低応力脆性破壊を発生させることができた。
  - 2) 溶接残留応力の効果は COD クライテリオンにより定量的な説明が可能である。
- 3) ビード付ディープノッチ試験の結果および平面モデルによる解析から、切欠先端の変形拘束が低応力破壊の大きな要因となつていることがわかつた。拘束の影響は高温域で顕著である。
  - 4) 拘束によつて限界 COD,  $\phi_c$  は小さくなる。
  - 5) 拘束引張試験のような拘束の強い複雑な試験片においては予荷重の効果は顕著である。

### 謝辞

本研究は日本造船研究協会第 119 研究部会「大型鉱石運搬船の船体構造材料に関する研究」の一環として行な われたものであり、委員各位の積極的なご協力とご教示をいただいた。ここに深甚の謝意を表するものである。

本研究に関して、日本造船学会溶接研究委員会第一分科会委員各位の有益なるご討論、ご教示をいただいたことに対し厚くお礼申し上げる。

また実験および解析にあたつては金子助手,新村助手はじめ東京大学船舶工学科材料強度実験室の方々,ならびに三菱重工㈱の鈴木明彦,三井造船㈱の山崎 誠の両氏(当時東大工学部船舶工学科学生)に種々ご助力をいただいた。ここに厚くお礼申し上げる。

### 参考文献

- 1) 木原, 池田: 脆性破壊の発生に関する研究 (第3報)—80 キロおよび 60 キロ高張力鋼の溶接部の脆性破壊発生特性—, 船論 120号 (1966), p. 207 など
- 2) 木原, 飯田, 成田:構造上の不連続性による集中応力が脆性破壊の発生に及ぼす影響, 船論 112 号 (1962), p. 163~
- 3) 矢田, 酒井:分布応力を受ける不連続構造物に生じる脆性破壊の発生に関する一考察, 船論 123 号 (1968), p. 263
- 4) 木原,金沢,大庭,須凊,南方,山本:切欠,角変形,残留応力が高張力鋼溶接継手の脆性破壊発生特性 におよぼす影響(第1報),船論125号(1969),同上(第2報),船論126号(1969)
- 5) 日本造船研究協会第 119 研究部会(部会長 金沢 武)「大型鉱石運搬船の船体構造材料に関する研究」報告書 (1970)
- 6) 金沢, 町田, 宮田:曲げ応力場における塑性域の大きさと開口変位の計算, 日本溶接協会鉄鋼部会TM委員会(主査 金沢 武)資料 (1970)
- 7) 酒井, 飯野: きれつの変位挙動と脆性破壊の発生, 船論 127 号 (1970), p. 227

### 日本造船学会論文集 第129号

- 8) 越賀··予荷重が脆性破壊事故防止に果たす役割の Dugdale 模型による機構の考察, 船論 127 号 (1970), p. 239
- 9) 金沢,三村,町田,宮田,萩原:脆性破壊発生のクライテリアに関する考察,日本造船学会昭和 46 年度 春季講演会において発表予定
- 10) Kihara and Masubuchi: Effect of Residual Stress on Brittle Fracture, Welding Jour., April (1959)

256